

日本大学	理工	正	粟津	清蔵
日本大学	理工	正	大津	岩夫
日本大学大学院	理工	学	山中	康資
○日本大学大学院	理工	学	柳沢	博

シルに作用する抗力を知ることは、跳水式減勢工の設計上必要である。強制跳水(I型跳水<sup>1)</sup>)のシルに作用する抗力の実測値を  $C_d = P/(1/2) \rho v_1^2 S = f(F_1, S/h_1, x_s/h_1)$  の関係で整理すると、同一の  $F_1, S/h_1, x_s/h_1$  に対し、シル高  $S$  の大小によって、抗力係数  $C_d$  に違いが生じる。このことは、Rajaratnamら<sup>2)</sup>によつても指摘されている。しかしながら、その理由については説明がなされていない。また、Tyagiら<sup>3)</sup>は  $(P/F_2)(h_1/S)^{1.5} (\nu^{0.4}/(g^{0.2}S^{0.6})) = f(x_s/h_1)$  の関係で実験値を整理しているが、無次元量  $(P/F_2)(h_1/S)^{1.5} (\nu^{0.4}/(g^{0.2}S^{0.6}))$  の物理的意味が不明であり、実験値のばらつきも大きい。ここでは、同一の  $F_1, S/h_1, x_s/h_1$  (あるいは  $x_s/L_j$ ) に対して、あるシル高  $S$  より小さい場合、  $S$  の大小により、異なった  $C_d$  の値が得られる理由について検討を行なう。

1. 実験 長方形断面水平水路に4種類の長方形鉛直連続シル(高さ  $S=2.0\text{cm}, 3.0\text{cm}, 3.8\text{cm}, 4.5\text{cm}$ 、厚さ  $1=2.0\text{cm}$ )を設置し、シル前、後面の中央に圧力取り出し孔を設け、それにマノメーターを接続し圧力を測定した。

2. I型跳水に作用する抗力の算定式  $S \geq 3.0\text{cm}$  の場合、  $P$  の実験値を式(1)の関係で整理すると、  $F_1, S/h_1$  に無関係に図-1のように示され、算定式(2)が得られた。

$$C_d = P/(1/2) \rho v_1^2 S = f(F_1, S/h_1, x_s/L_j) \quad (1)$$

$$C_d = 0.71 - 0.85(x_s/L_j) \quad (2) \quad 3.5 \leq F_1 \leq 9.5, x_s/L_j \leq 0.7 \sim 0.8, 0.8 \leq S/h_1 \leq 3.6$$

3. レイノルズ数Reの効果 式(1)の関係で、Rajaratnamら<sup>2)</sup>の実験値を整理すると、図-2が得られる。図-2から、与えられた  $F_1, S/h_1, x_s/L_j$  に対し、  $S=2\text{inch}(5.08\text{cm})$  の場合、抗力係数  $C_d$  の値は式(2)とほぼ一致するが、  $S=1\text{inch}(2.54\text{cm})$  の場合、  $C_d$  の値は式(2)より小さな値となる。これは、  $S$  が  $C_d$  に何らかの影響を及ぼすためと考えられる。ここで、レイノルズ数  $Re=v_1 h_1 / \nu$  ( $\nu$  は動粘性係数)の影響を考慮すると、  $C_d$  は式(3)の関係で示される。  $C_d = f(F_1, S/h_1, x_s/L_j, Re)$   $(3)$

実験値を式(3)の関係で整理すると、図-3、4が得られる。図-3、4から、  $S \geq 3.0\text{cm}$  の実験値は式(2)を満足し、  $S=2.0\text{cm}$  の実験値は、式(2)の値よりも小さな値を示す。

4. シル前面に作用する圧力 シル前面に作用する圧力  $p_r$  を式(4)の関係で整理した一例を図-5、6に示す。  $p_r/(1/2) \rho v_1^2 = f(y/S, F_1, S/h_1, x_s/L_j, Re)$   $(4)$

図-5、6から、  $x_s/L_j < 0.6$  の場合、同一の  $F_1, S/h_1, x_s/L_j$  に対し、シル前面に作用する圧力の大きさ、分布形状は、  $S=2.0\text{cm}$  の場合と  $S \geq 3.0\text{cm}$  の場合とでは、異なることが確認される。ただし、跳水の水面形状は一致する。

5. シル前方の流速分布 図-7は、  $S \geq 3.0\text{cm}$  の場合のシル前方における流れの内部流況を示した一例である。シルに接近する主流の流線は、下向きに凸型になる傾向を示す。また、  $0 < x'/S \leq 1.0$  の範囲において、三角形ABCの領域で渦が形成されていることが確認される。すなわち、シル前方の流れの流況は、主流とシル直前に形成される渦とに分けられ、シル前面の点B( $y/S=0.7 \sim 0.8$ )でよどみ点が生じていることが認められる。このよどみ点Bでは、シル前面に作用する圧力が極大となっている(図-5、6)。すなわち、シル前面の圧力分布形状がS字型を示すのは(図-5、6)、このよどみ点Bとシル直前に形成される渦によるためと考えられる。図-5、6から、  $S \geq 3.0\text{cm}$  の場合は、シル直前に形成される渦の形状が相似であり、よどみ点の生じる位置も常に  $y/S=0.7 \sim 0.8$  である。一方、  $S=2.0\text{cm}$  のシル前方における流れの内部流況および渦の形状は、  $S \geq 3.0\text{cm}$  の場合と異なる。

一般には、同一の  $F_1, S/h_1, x_s/L_j$  に対して、シル高の大きさ  $S$  が異なると  $Re$  の値は異なる(例えば、図-5の場合、  $S=2.0\text{cm}$  のとき  $Re=43800$ 、  $S=3.0\text{cm}$  のとき  $Re=80300$ 、  $S=3.8\text{cm}$  のとき  $Re=115900$ )。与えられた  $F_1, S/h_1, x_s/L_j$  に対して、シル前面に作用する圧力の大きさ、分布形状、シル直前に形成された渦の形状は、  $S \geq 3.0\text{cm}$  の場合、  $Re$  にかかわらず同一であるが、  $S \leq 2.54\text{cm}$  の場合、  $Re$  に影響されることが示される。

したがって、  $S \geq 3.0\text{cm}$  の場合、フルードの相似則が成り立つものと考えられる。しかしながら、  $S \leq 2.54\text{cm}$  の場合、フルードの相似則が成り立たず、模型の縮尺効果ができるものと考えられる。

シル後面に作用する圧力  $p_r$  については、  $p_r$  を式(5)の関係で整理すると、図-5、6のように示される。

$$p_r/(1/2) \rho v_1^2 = f(y/S, F_1, S/h_1, x_s/L_j, Re) \quad (5)$$

これより、同一の  $F_1, S/h_1, x_s/L_j$  に対し、シル後面に作用する圧力は、直線的な分布で、シル高  $S$  にかかわらず、ほぼ一致する傾向が示され、  $Re$  には影響されない。

6. Tyagiらの文献 Tyagiら<sup>3)</sup>は、Rajaratnamら<sup>2)</sup>の実験値に基づいて、式(6)の関係で実験値を整理し

たが、実験値は大きくばらつく。また、無次元量 $(P/F_2)(h_1/S)^{1.5}(\nu^{0.4}/(g^{0.2}S^{0.6}))$ の物理的意味が不明である。

$$(P/F_2)(h_1/S)^{1.5}(\nu^{0.4}/(g^{0.2}S^{0.6})) = f(x_s/h_1) \quad (6)$$

さらに、この無次元量は次のように変換され、 $F_1$ と $Re$ の両方を含むため、式(6)の原型への適用は不可能である。

$$(P/F_2)(h_1/S)^{1.5}[\nu^{0.4}/(g^{0.2}S^{0.6})] = (P/F_2)(h_1/S)^{2.1}(F_1/Re)^{0.4}$$

$$\text{ただし、 } F_2 = (1/2)\omega h_2^2$$

$$F_1 = 4.50 \sim 5.49 \quad \text{Type I jump}$$

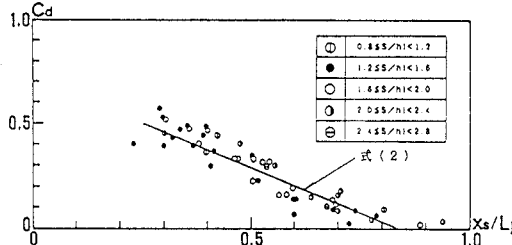


図-1

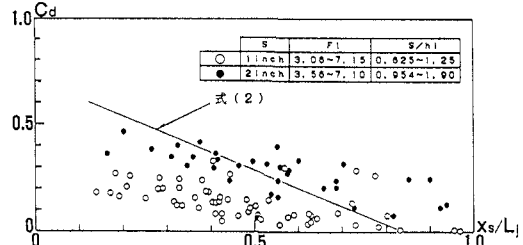


図-2

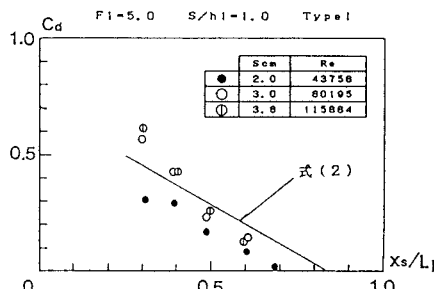


図-3

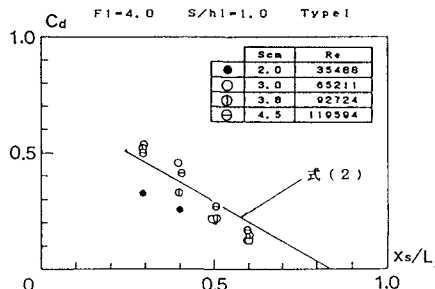


図-4

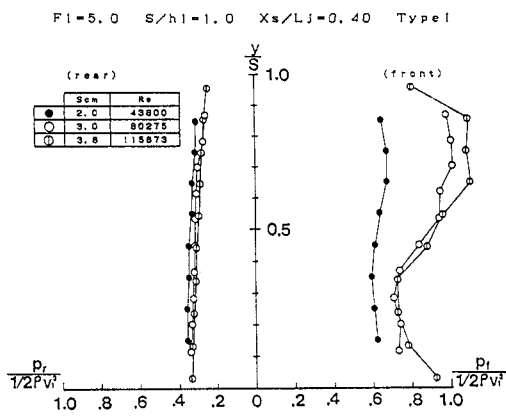


図-5

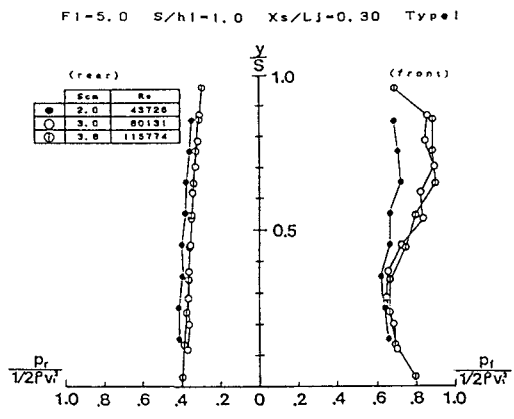


図-6

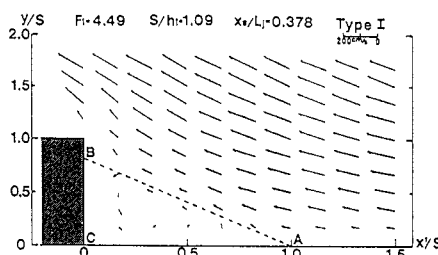


図-7

《参考文献》1)大津岩夫:『船底シルによる強制跳水』土木学会論文報告集第311号1981年7月  
2)Rajarathnam and Murahari: "A contribution to forced hydraulic jump"  
Journal of Hy. Res. 1971.9.No.2  
3)Tyagi, Panda and Mittal: "Drag on baffle walls in hydraulic jump"  
Journal of Hy. Division, April 1978

《記号》 $P_f$ : 液面に作用する抗力  $C_d$ : 抗力係数  $p_r$ : 液面全面に作用する圧力

$p_r$ : 液後面に作用する圧力  $h_1$ : 距離  $h_1$ : 距離  $h_1$ : 下流水深

$x_s$ : 距離  $x_s$  から跳水前面までの長さ  $x'$ : 距離  $x_s$  から上流側への距離

$S$ : 距離  $L_j$ : 自由跳水の場合の跳水長さ  $F_1$ : 距離  $F_1$  の  $F_1$  倍数 ( $=V_1/\sqrt{gh_1}$ )

$Re$ : レイノルズ数 ( $=V_1 h_1 / \nu$ )  $\nu$ : 床板からの高さ  $V_1$ : 距離  $V_1$  の流速 ( $=Q_1/h_1$ )

$\rho$ : 水の密度  $g$ : 重力加速度